

Ежегодная международная научно-практическая конференция  
**«РусКрипто'2023»**

**Исследование эффективности применения нейросетевых алгоритмов для оценки минимальной энтропии последовательностей, вырабатываемых датчиками случайных чисел**



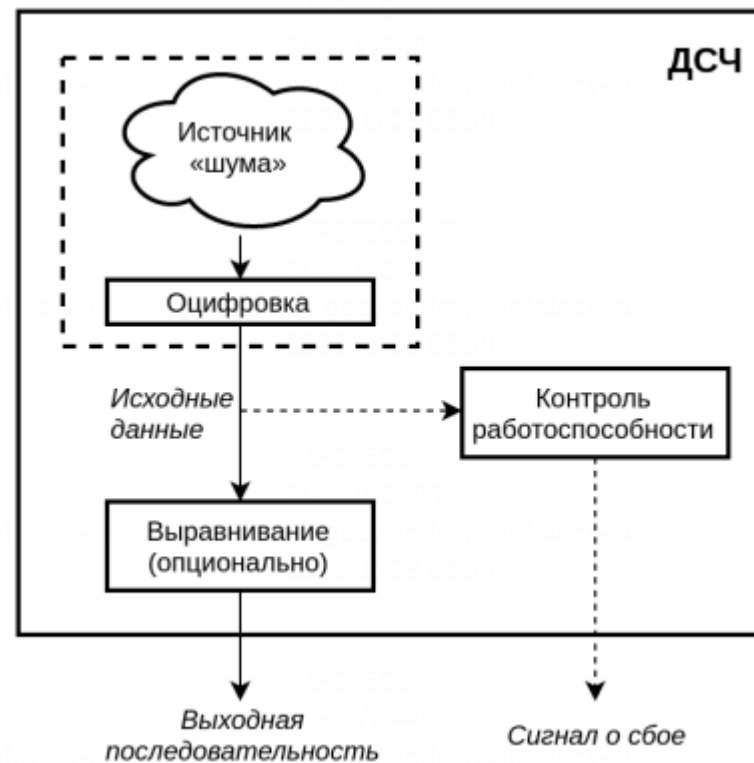
**Сергеев Андрей,**  
Специалист, СФБ Лаб

# Введение

- Задача оценки статистических характеристик датчиков случайных чисел
- Тесты NIST 800-22, Diehard, TestU01 хорошо подходят для ПДСЧ

# Модель ФДСЧ, БиодФСЧ

Типичный ФДСЧ без усложнений «не пройдёт» тесты NIST и аналогичные



# NIST 800-90B (2018 г.)

## Требования к источнику «шума»

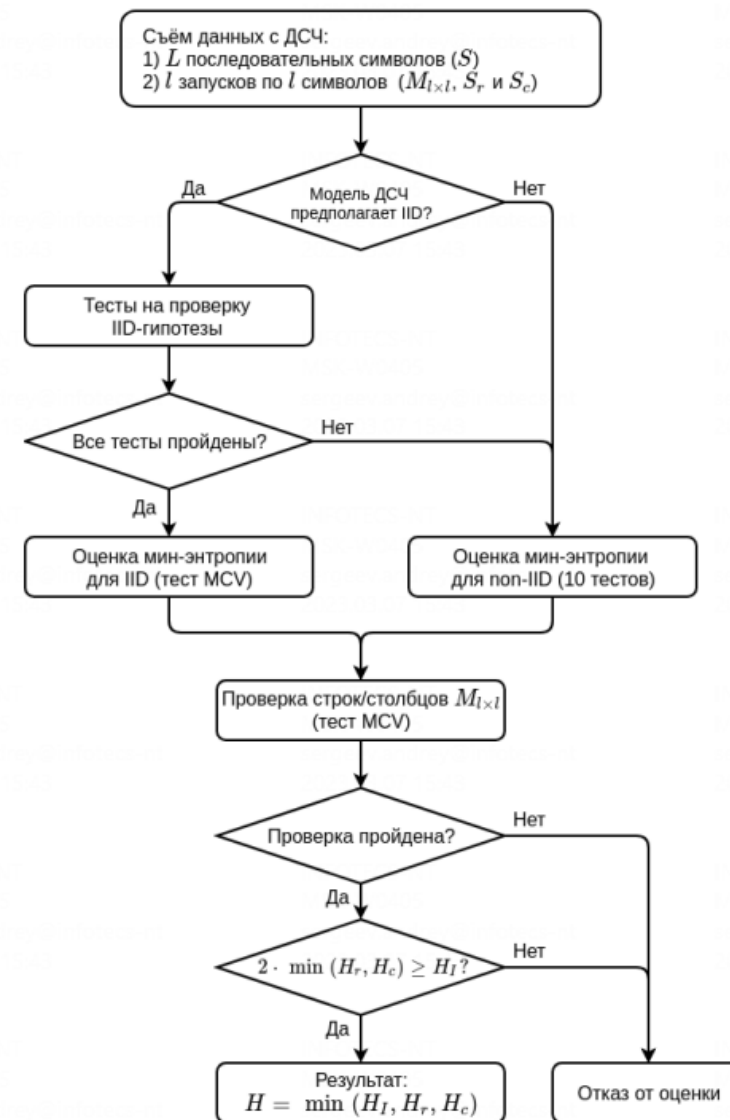
1. Стационарность выходной энтропии
2. Оценка мин-энтропии, обоснованная технической аргументацией и мат. моделью
3. Защита от активного влияния и пассивного наблюдения противником

От источника требуется не «идеальная случайность», а **высокая энтропийность**.

# Схема работы NIST 800-90B

Две группы тестов:

- IID (independent and identically distributed) – независимые и одинаково распределенные случайные величины
- **Non-IID** – сложные зависимости и нестационарные распределения



# Логика работы алгоритмов-предикторов

Тестируется последовательность из  $N+M$  символов

Алгоритм-предиктор:

- получает на вход  $N$  символов
- пытается угадать  $N+1$ -й символ
- получает  $N+1$  символов
- пытается угадать  $N+2$ -й символ
- ...
- пытается угадать  $N+M$ -й символ

Число правильных угадываний –  $C$

Доля правильных угадываний –  $P = \frac{C}{M}$

Оценка мин-энтропии «на один символ»  $H \approx -\log_2 P$

# Оценка мин-энтропии

- Глобальный критерий – по средней вероятности угадывания
- Локальный критерий – по максимальной последовательности правильных угадываний
- Общая оценка – минимальная из глобальной и локальной оценки

# Существующие алгоритмы-предикторы

## **NIST SP 800-90B:**

- Multi Most Common in Window Prediction (MultiMCW) – самый частый символ
- Lag Prediction – проверка периода
- Multi Markov Chains (MultiMMC) Prediction – марковская цепь
- LZ78Y Prediction – на основе словарного подхода и соответствующего алгоритма сжатия

# Цель исследовательской работы

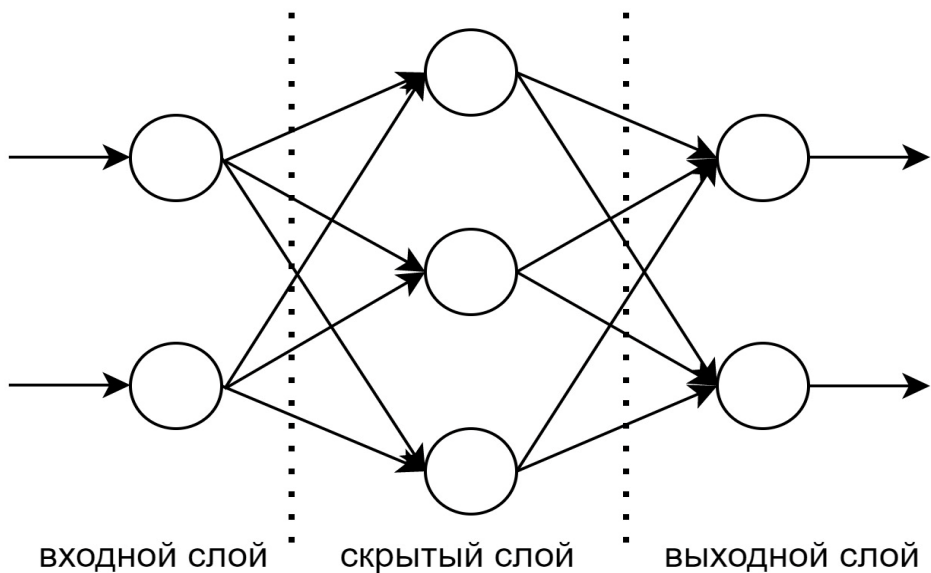
Проверить нейросетевые алгоритмы [1,2], предназначенные для предсказания выходной последовательности, формируемой алгоритмическим датчиком с неизвестной структурой.

- [1] Na Lv, Tianyu Chen, Shuangyi Zhu, Jing Yang, Yuan Ma, Jiwu Jing, Jingqiang Lin, "High-Efficiency Min-Entropy Estimation Based on Neural Network for Random Number Generators", Security and Communication Networks, 2020.
- [2] Jing Yang, Shuangyi Zhu, Na Lv, Tianyu Chen, Yuan Ma, Jiwu Jing, Jingqiang Lin, "Erratum to "High-Efficiency Min-Entropy Estimation Based on Neural Network for Random Number Generators"", Security and Communication Networks, 2020.

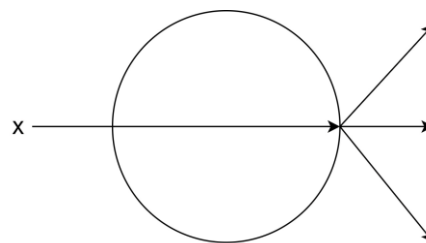
# Архитектуры нейронных сетей

- Сети прямого распространения (FNN)
- Residual Network (ResNet)
- Рекуррентные нейронные сети (RNN)
- Сети встречного распространения (CPN)

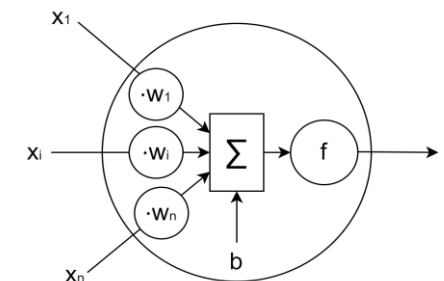
# Сети прямого распространения FNN



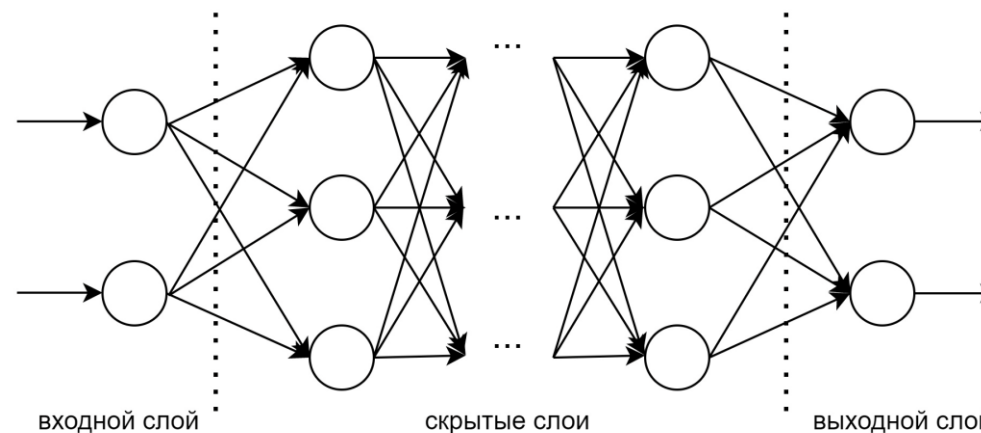
Строение сети типа FNN



Нейрон входного слоя

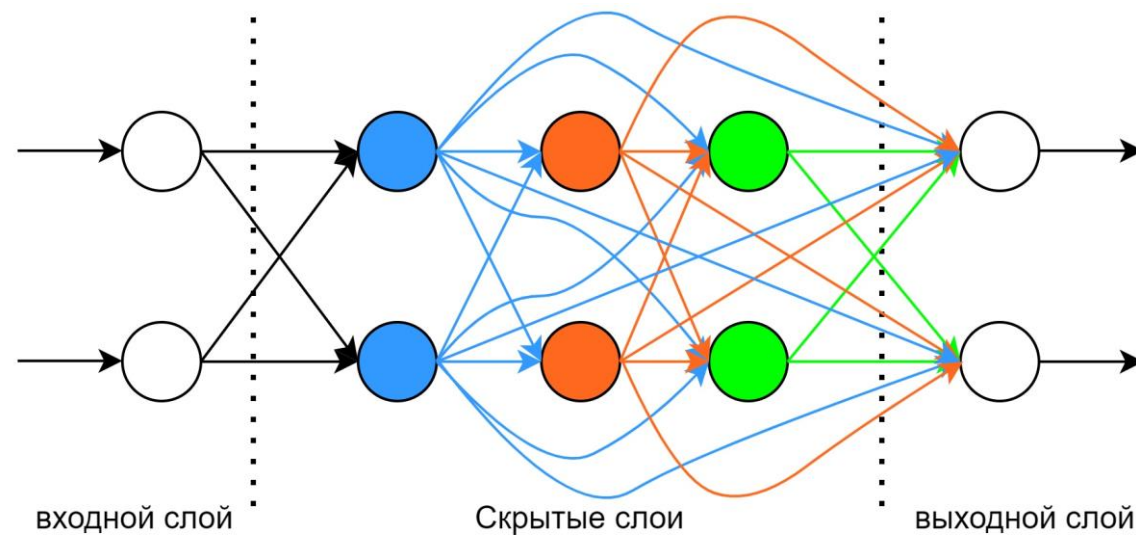


Нейрон скрытого и выходного слоя



Строение сети типа DNN

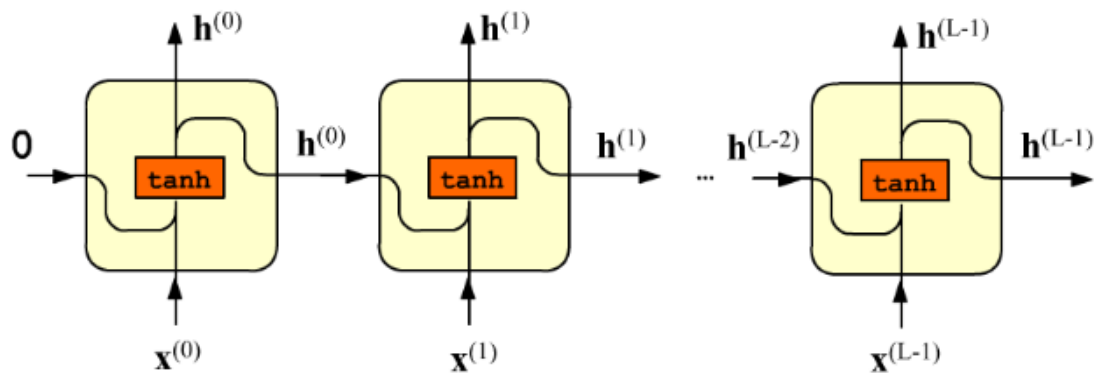
# Residual Network ResNet



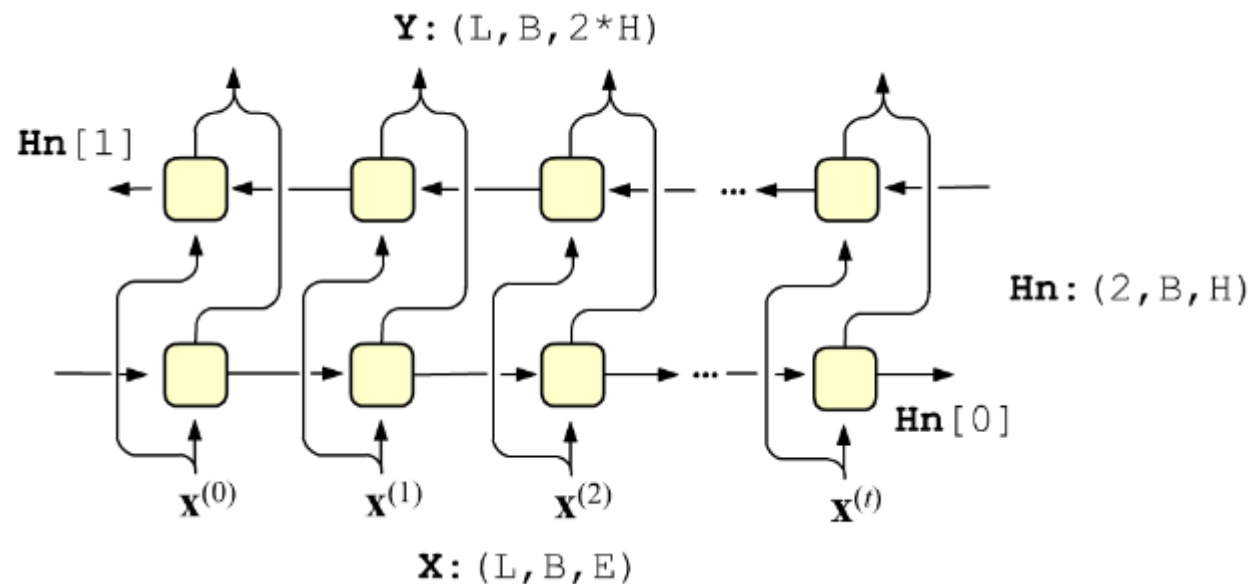
Нейронная сеть типа ResNet

# Рекуррентные нейронные сети RNN

$$h^{(t)} = \tanh(x^{(t)} \cdot W + h^{(t-1)} \cdot H + b)$$

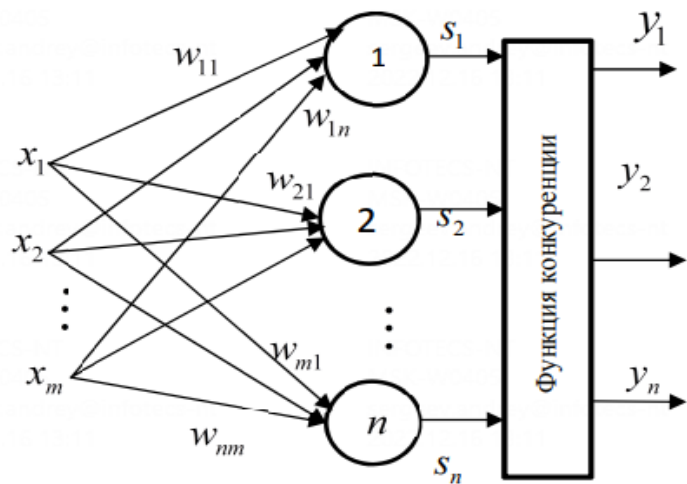


Простая RNN



Двунаправленная RNN

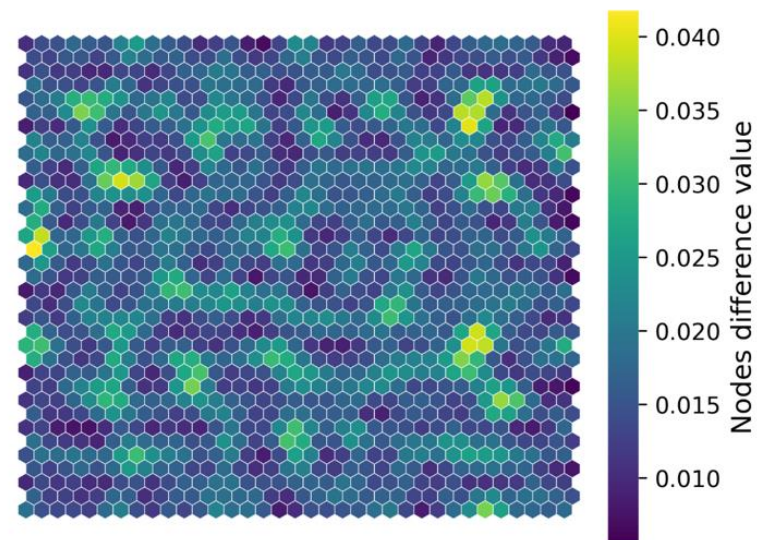
# Сети встречного распространения CPN



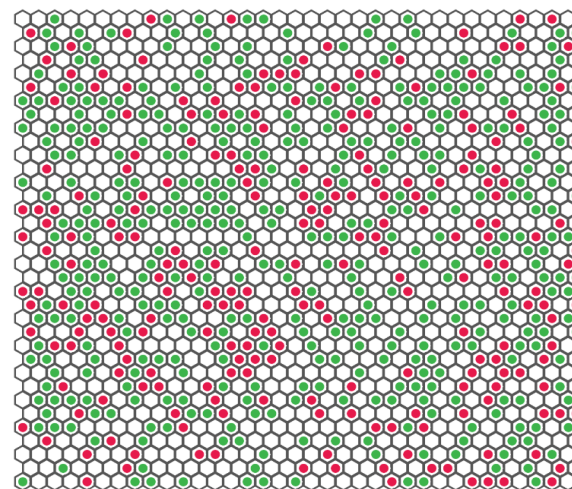
Сеть  
Кохонена



Слой  
Гроссберга



Groups  
● 0  
● 1



# Подготовка входных данных перед подачей в нейронную сеть

$[0, 1, 2]$



$[(1, -1, -1), (-1, 1, -1), (-1, -1, 1)]$

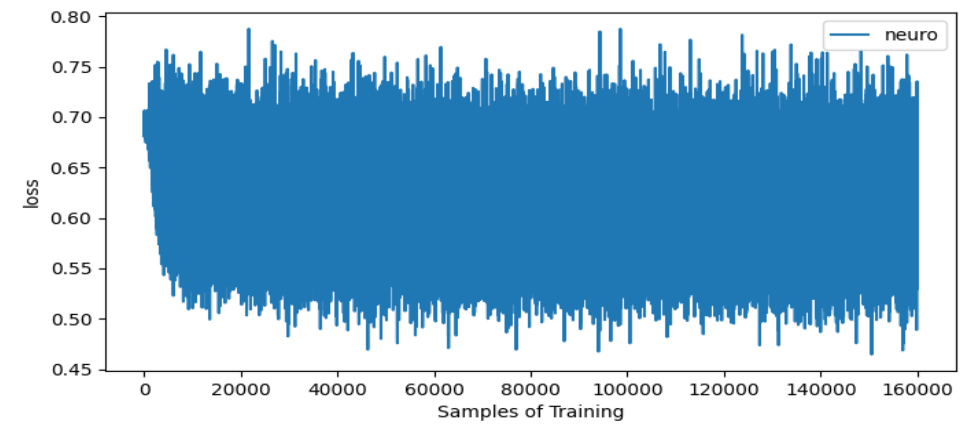
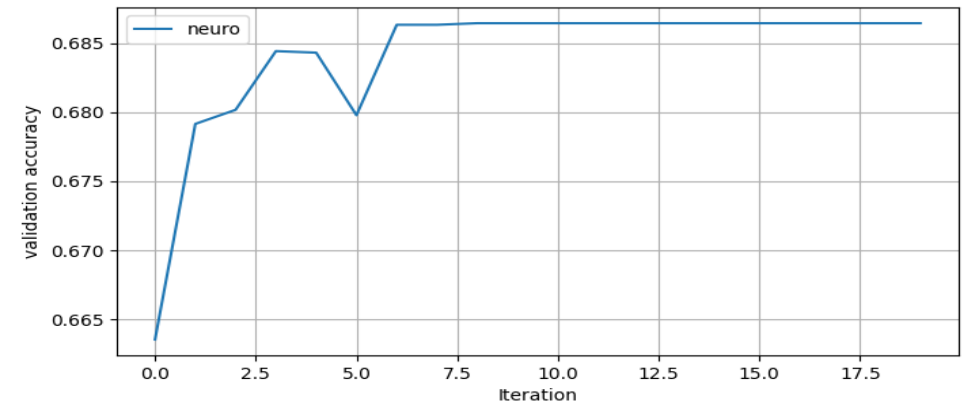
# Тестовая программная реализация разработанных предикторов. Марковский источник глубины 10

Входная $t$ -грамма	Вероятность «0»	Вероятность «1»
«0000000000»	0.25	0.75
«0000000001»	0.75	0.25
...	...	...
«1111111111»	0.25	0.75

Таблица переходных вероятностей марковского источника

# Марковский источник и FNN

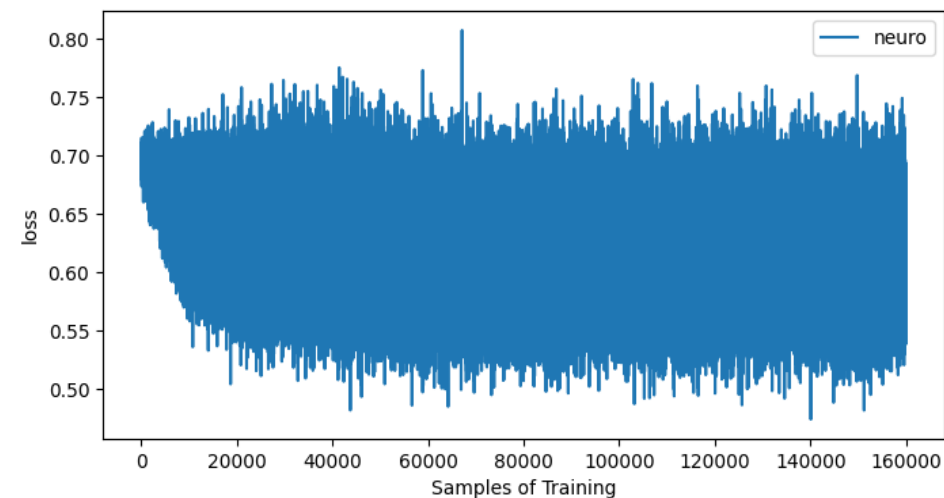
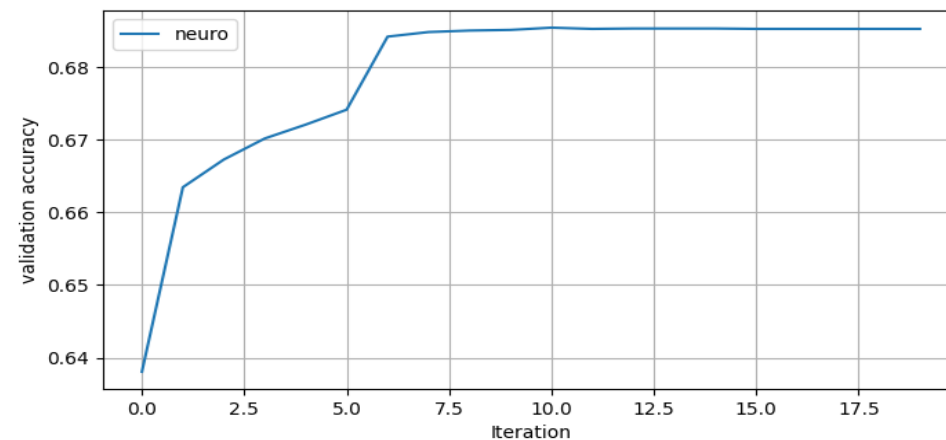
Архитектура	Важные параметры	Точность на тренировочной выборке	Точность на тестовой выборке
FNN с 3мя скрытыми слоями [80,80,60]	Функция потерь - BCELoss	0.68575875	0.686425
	Функция потерь - KLDivLoss	0.6857275	0.68633
	Функция потерь - CrossEntropyLoss	0.68577625	0.686435
	Функция потерь - MSELoss	0.68574125	0.686405



FNN с функцией CrossEntropyLoss

# Марковский источник и ResNet

Архитектура	Важные параметры	Точность на тренировочной выборке	Точность на тестовой выборке
ResNet	5 скрытых слоев по 80 нейронов в каждом	0.68477	0.68529



# Марковский источник и RNN

Архитектура	Важные параметры	Точность на тренировочной выборке	Точность на тестовой выборке
RNN (один слой, размерность скрытых признаков 40)	однонаправленная	0.68451125	0.684945
	двунаправленная	0.683895	0.68441

# Марковский источник и CPN

Архитектура	Важные параметры	Точность на тренировочной выборке	Точность на тестовой выборке
CPN с метрикой cosine	размерность карты: 35x35	0.6568545	0.645715
CPN с метрикой euclidean	размерность карты: 35x35	0.658763	0.653325
	размерность карты: 50x50	0.6801	0.66928
CPN с метрикой manhattan	размерность карты: 35x35	0.6408	0.625425

# Марковский источник глубины 10. Выборка без повторов и противоречий

Архитектура	Важные параметры	Точность на тренировочной выборке	Точность на тестовой выборке
FNN	<ul style="list-style-type: none"><li>3 скрытых слоям [80,80,60]</li><li>Функция потерь: CrossEntropyLoss</li></ul>	0.994174	0.68648
RNN	<ul style="list-style-type: none"><li>один слой</li><li>размерность признаков 40</li><li>однонаправленная</li></ul>	0.99996	0.68648
CPN	<ul style="list-style-type: none"><li>размерность карты: 35x35</li><li>метрика: euclidean</li></ul>	0.99973	0.61949

# Периодический источник с периодом 20

Архитектура	Важные параметры	Точность на тренировочной выборке	Точность на тестовой выборке
FNN	Один слой из 100 нейронов	0.99997875	0.99998
RNN	<ul style="list-style-type: none"><li>• один слой</li><li>• Размерность скрытых признаков 10</li></ul>	0.99997875	0.99998
CPN	<ul style="list-style-type: none"><li>• размерность карты: 10x10</li><li>• метрика евклидова</li></ul>	0.85	0.8499969
	<ul style="list-style-type: none"><li>• размерность карты: 20x20</li><li>• метрика евклидова</li></ul>	1.0	1.0

# Линейный регистр сдвига с примитивным многочленом степени 40

Архитектура	Важные параметры	Точность на тренировочной выборке	Точность на тестовой выборке
FNN	<ul style="list-style-type: none"><li>3 скрытых слоям [80,80,60]</li><li>Функция потерь: CrossEntropyLoss</li></ul>	0.49103	0.50032
RNN	<ul style="list-style-type: none"><li>один слой</li><li>размерность признаков 40</li><li>однонаправленная</li></ul>	0.50194	0.506
CPN	<ul style="list-style-type: none"><li>размерность карты: 35x35</li><li>метрика: euclidean</li></ul>	0.49473	0.4949

# Github

[https://github.com/Respman/NIST\\_SP\\_800-90B\\_and\\_neural\\_nets](https://github.com/Respman/NIST_SP_800-90B_and_neural_nets)

# Заключение

- Рассмотренные архитектуры нейронных сетей будут работать как предикторы для случайных источников с конечной памятью и неприменимы для исследования алгоритмических ДСЧ
- Полученные результаты могут быть полезными при дальнейших исследованиях ФДСЧ

Вопросы

???

# Контактная информация

- **Электронная почта:**  
Andrey.Sergeev@sfblaboratory.ru

